

# 5. Indexstrukturen

## ■ Einführung

- Zugriffsarten und Suchanfragen
- Indexstrukturen für Primärschlüsselzugriff

## ■ B\*-Baum

- clustered / non-clustered Index
- Optimierungen: Schlüsselkomprimierung, erweitertes Splitting

## ■ Hash-Verfahren

- statische Verfahren
- erweiterbares Hashing

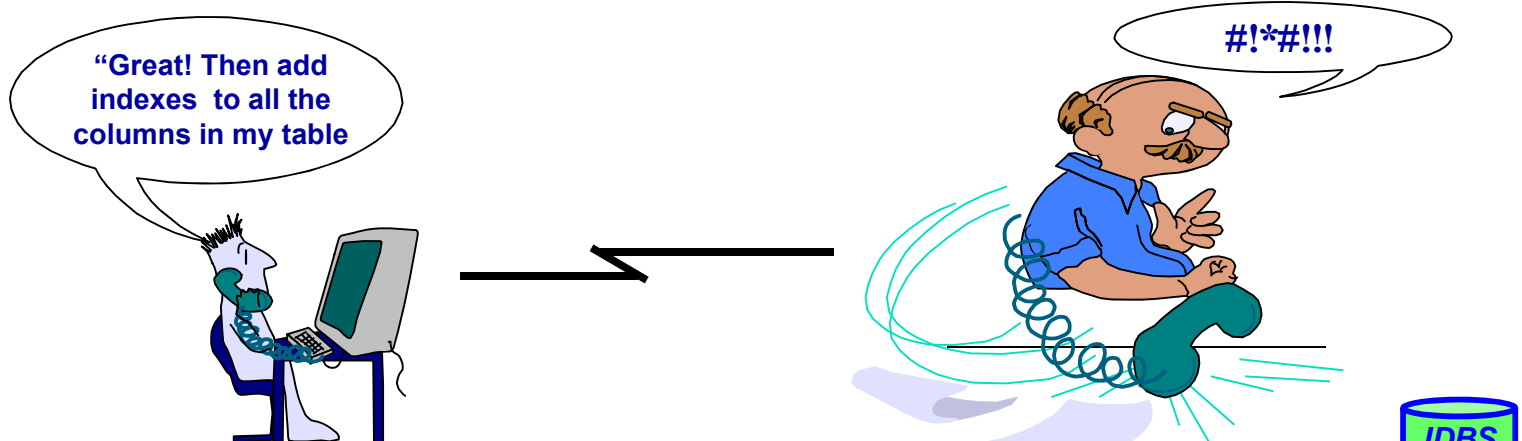
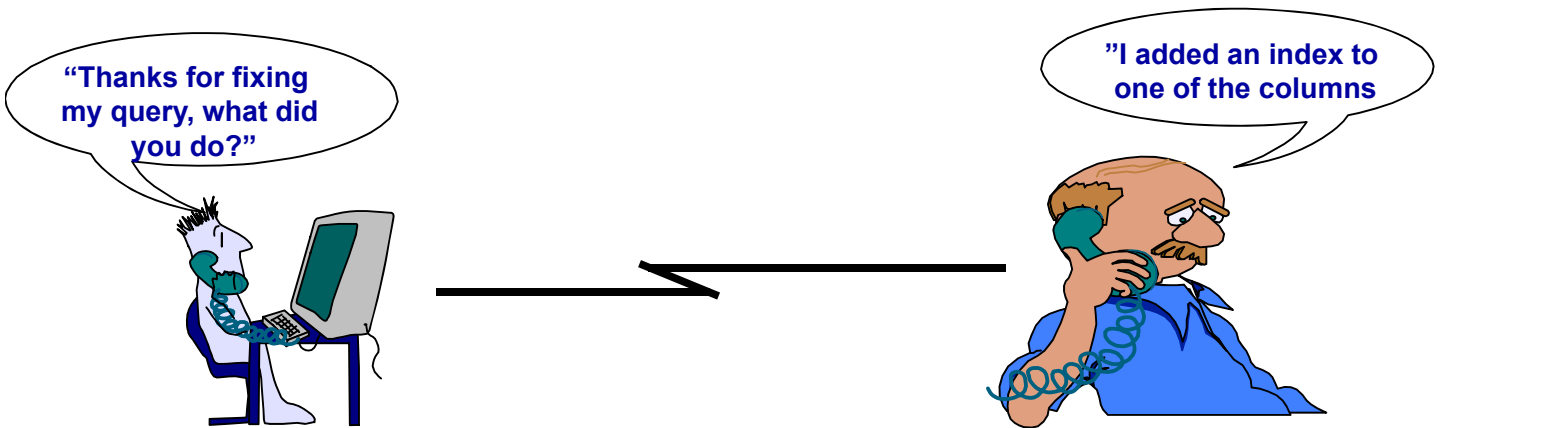
## ■ Sekundärschlüsselzugriff

- Invertierung, Bitlisten-Indizes
- verallgemeinerte Zugriffspfadstruktur (Join-Index)

## ■ Mehrdimensionale Zugriffspfade

- eindimensionale Einbettungen
- Grid-File
- R-Baum

## ■ Textsuche/Matching: invertierte Listen, Signatur-Dateien, Suchraumeingrenzung



# Zugriffsarten

- **Sequentieller Zugriff**
  - auf alle Sätze eines Satztyps (Scan)
  - in Sortierreihenfolge eines Attributes
- **Direkter Zugriff**
  - über den Primärschlüssel
  - über einen Sekundärschlüssel (Nicht-Primärschlüssel)
  - über zusammengesetzte Schlüssel (Attribute)
  - über mehrere unabhängige Schlüssel (Attribute)
- **Navigierender Zugriff von einem Satz zu dazugehörigen Sätzen desselben oder eines anderen Satztyps**
- **Wichtige Anfragearten**
  - exakte Anfrage (exact match queries)
  - Präfix-Match-Anfragen
  - Bereichsanfrage (range query)
  - Extremwertanfragen
  - Join-Anfragen
  - • •



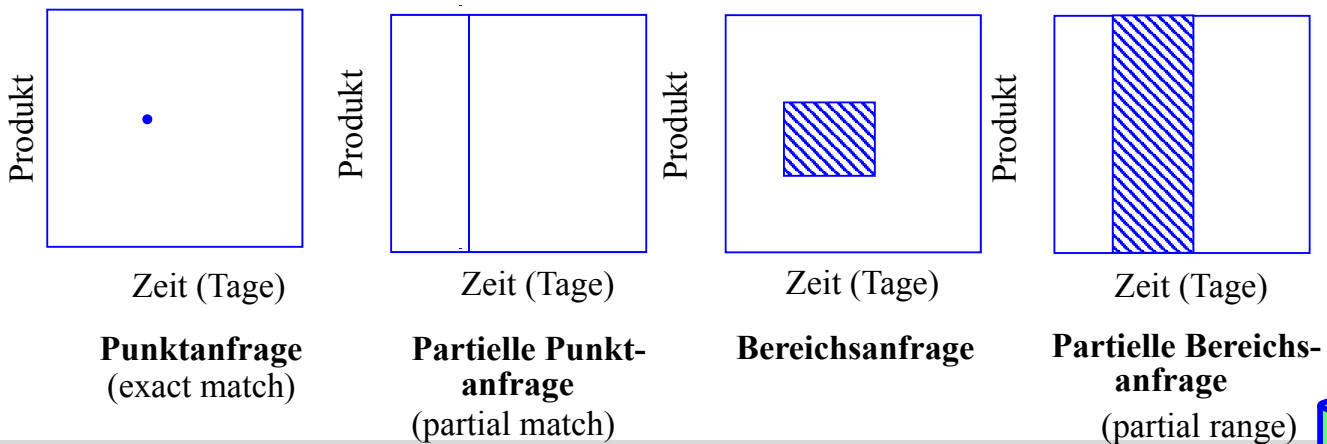
## Mehrdimensionale Zugriffe

- **Suchbedingungen bezüglich mehrerer Attribute / Dimensionen**
  - besonders wichtig für räumliche Objekte (Punkte, Polygone, Quader, ...) -> GIS, CAD, etc.
- **Annahmen:**
  - Satztyp/Datei  $R = (A_1, \dots, A_n)$
  - Jeder Satz  $t = (a_1, a_2, \dots, a_n)$  ist ein Punktobjekt
  - Attribute  $A_1, \dots, A_k$  ( $k < n$ ) seien Schlüssel  $\Rightarrow$   $k$ -dimensionaler Datenraum  $D$
  - Anfrage  $Q$  spezifiziert Bedingungen, die von den Schlüsselwerten der Sätze in der Treffermenge erfüllt sein müssen
- **Generelle Anfrageklassen:**
  - Intersection Queries: gesuchte Sätze bilden einen Durchschnitt mit der Menge der vorhandenen Sätze (exakte und partielle Anfragen, Bereichsanfragen)
  - Enthaltenseins- oder Überlappungsanfragen (containment queries): gesuchte räumliche Objekte sind ganz oder überlappend in einem Suchfenster enthalten
    - Punktanfrage (point query): Gegeben ist ein Punkt im Datenraum  $D$ ; finde alle Objekte, die ihn enthalten.
    - Gebietsanfrage (region query): Gegeben ist Anfragegebiet; finde alle Objekte, die es schneiden.
  - Nächster-Nachbar-Anfragen (best match query, nearest neighbor query): Suche nach "nächstgelegenen" Objekten



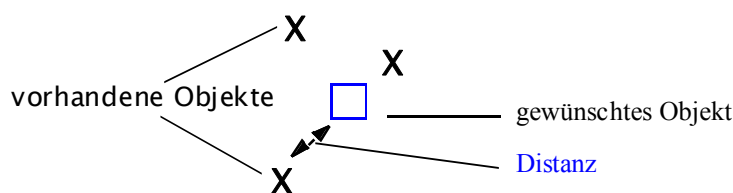
# Schnittbildende Suchfragen

1. **Exakte Anfrage (exact match query):** spezifiziert für jeden Schlüssel einen Wert  
 $Q = (A_1 = a_1) \wedge (A_2 = a_2) \wedge \dots \wedge (A_k = a_k)$
2. **Partielle Anfrage (partial match query):** spezifiziert  $s < k$  Schlüsselwerte  
 $Q = (A_{i_1} = a_{i_1}) \wedge (A_{i_2} = a_{i_2}) \wedge \dots \wedge (A_{i_s} = a_{i_s})$  mit  $1 < s < k$  und  $1 < i_1 < i_2 < \dots < i_s < k$
3. **(Exakte) Bereichsanfrage (range query):** spezifiziert einen Bereich  $r_i = [l_i < a_i < u_i]$  für jeden Schlüssel  $A_i$   
 $Q = (A_1 = r_1) \wedge \dots \wedge (A_k = r_k) \equiv (A_1 > l_1) \wedge (A_1 < u_1) \wedge \dots \wedge (A_k > l_k) \wedge (A_k < u_k)$
4. **Partielle Bereichsanfrage (partial range query):** spezifiziert für  $s < k$  Schlüssel einen Bereich  
 $Q = (A_{i_1} = r_{i_1}) \wedge \dots \wedge (A_{i_s} = r_{i_s})$  mit  $1 < s < k$  und  $1 < i_1 < \dots < i_s < k$  und  $r_{ij} = [l_{ij} < a_{ij} < u_{ij}]$ ,  $1 < j < s$   
 → bei den schnittbildenden Anfragen lassen sich alle 4 Fragetypen als allgem. Bereichsfrage ausdrücken
  - genauer Bereich  $[l_i = a_i = u_i]$
  - vs. unendlicher Bereich  $[-\infty < a_i < \infty]$



## Best-Match (Nearest Neighbor)-Anfragen

- gewünschtes Objekt nicht vorhanden  
 => Frage nach möglichst ähnlichen Objekten



- "best" wird bestimmt über verschiedene Arten von Distanzfunktionen

- Beispiele:

- räumliche Distanz
- Objekt erfüllt nur 8 von 10 geforderten Eigenschaften
- Objekt ist durch Synonyme beschrieben

- Nearest Neighbor:

$D$  = Distanzfunktion

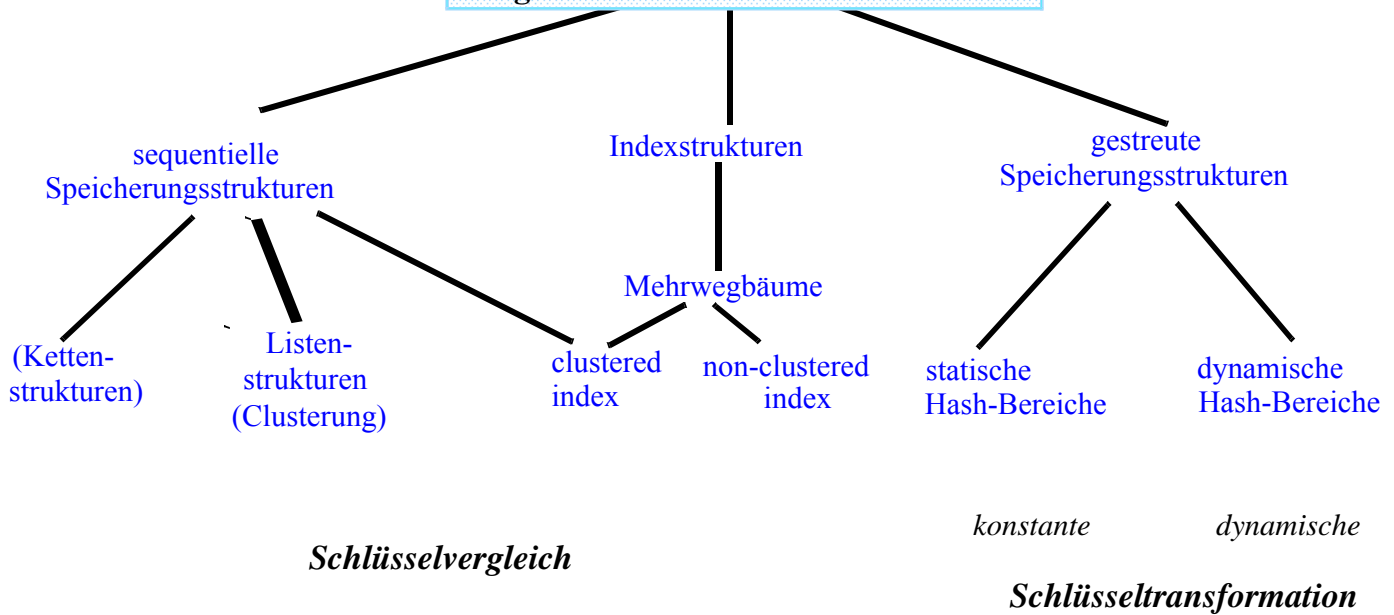
$B$  = Sammlung von Punkten im  $k$ -dim. Raum

Gesucht: nächster Nachbar von  $p$  (in  $B$ )

Der nächste Nachbar ist  $q$ , wenn  $(\forall r \in B) \{r \neq q \Rightarrow [D(r,p) > D(q,p)]\}$



## Zugriffsverfahren für Primärschlüssel



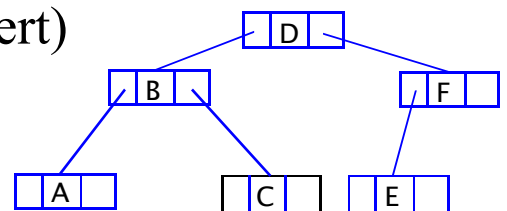
## Mehrweg-Bäume

### ■ Ausgangspunkt: Binäre Bäume (balanciert)

- entwickelt für Hauptspeicher
- für DB-Anwendungen unzureichend

### ■ Weiterentwicklung: B- und B\*-Baum

- Seiten (Blöcke) als Baumknoten
- Zusammenfassung mehrerer Sätze/Schlüssel in einem Knoten
- höherer Verzweigungsgrad (Mehrwegbaum), wesentlich niedrigere Baumhöhe
- balancierte Struktur: unabhängig von Schlüsselmenge und Einfügereihenfolge
- dynamische Reorganisation durch Splitten und Mischen von Seiten
- Speicherung von Datensätzen: direkt/eingebettet im Mehrweg-Baum oder separat



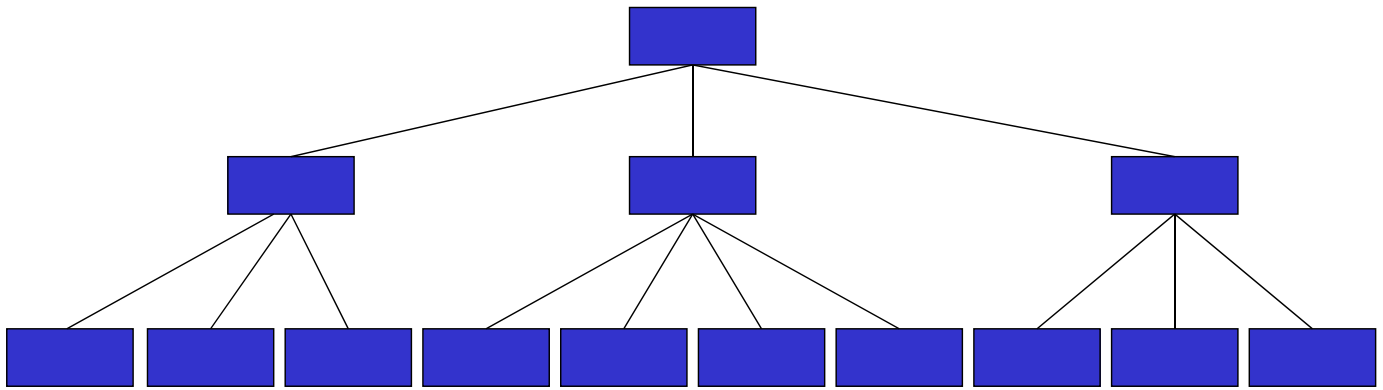
### ■ Direkter Index: eingebettete Datensätze

- kann Baumhöhe erhöhen, erspart jedoch separaten Satzzugriff über Verweis.
- direkte Speicherung nur für einen Index pro Satztyp (i.a. für Primärschlüssel) !

### ■ Indirekter Index: enthält Verweis (TID) pro Datensatz

- mehr Einträge pro Knoten
- einige Abfragen (zB. Aggregatfunktionen) können direkt auf Index beantwortet werden

# B\*-Baum



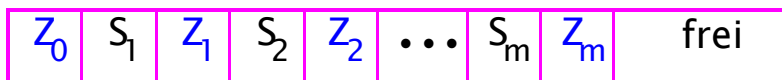
B\*-Baum vom Typ  $(k, k^*, h)$  ist ein Baum mit folgenden Eigenschaften

- Jeder Weg von der Wurzel zum Blatt hat die Länge  $h$
- Jeder Zwischenknoten hat mindestens  $k+1$  Söhne. Die Wurzel ist ein Blatt oder hat mindestens 2 Söhne.
- Jeder Zwischenknoten hat höchstens  $2k+1$  Söhne.
- Jedes Blatt hat mindestens  $k^*$  und höchstens  $2k^*$  Einträge



## B\*-Baum: Seitenformate

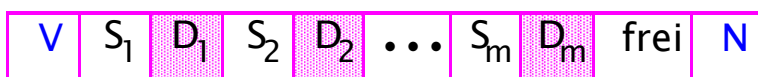
- Zwischenknoten:  $k$  bis  $2k$  Einträge,  $k+1$  bis  $2k+1$  Verweise auf Söhne



$S_i$  = Schlüssel  
 $Z_i$  = Zeiger Sohnseite

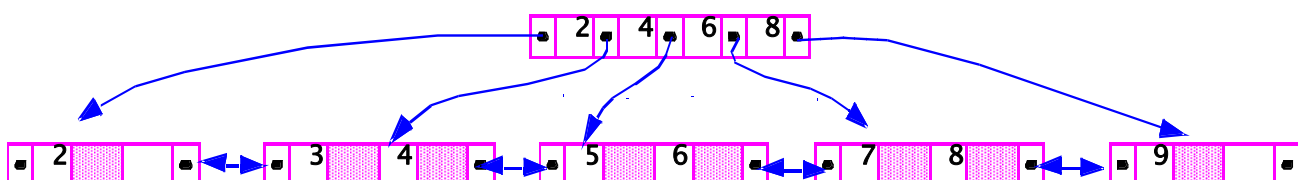
Alle Schlüssel in einem Knoten sind sortiert:  $S_i \leq S_{i+1}$  ( $i=1, \dots, m-1$ )  
 für alle Schlüssel  $s$  im Teilbaum zu  $Z_i$  gilt:  $S_i < s \leq S_{i+1}$  ( $i=1, \dots, m-1$ )  
 bzgl.  $Z_0$  gilt:  $s \leq S_1$   
 und bzgl.  $Z_m$  gilt:  $S_m < s$

- Blattknoten:  $k^*$  bis  $2k^*$  Einträge, Verkettung mit Nachbarseiten



$S_i$  = Schlüssel  
 $D_i$  = Datensatz bzw. Verweis (TID)  
 $V$  = Zeiger Vorgängerseite  
 $N$  = Zeiger Nachfolgerseite

- Beispiel ( $h=2, k=2, k^*=1$ ):



# B\*-Baum: Verzweigungsgrad, Höhe

- Belegungs/Verzweigungsgrad (Seitengröße 8 KB, Z = 4 B, S = 4 B):

Eintragsgröße Zwischenknoten:

indirekter Index:

direkter Index:

- Anzahl von Sätzen (N) für unterschiedliche Baumhöhen

h=1:

h=2:

h=3:

- Höhe h eines B\*-Baums mit N Datenelementen:

$$1 + \log_{2k+1} \left( \frac{N}{2k^*} \right) \leq h \leq 2 + \log_{k+1} \left( \frac{N}{2k^*} \right) \quad (h \geq 2)$$

- Typischer Wert für die Höhe eines B\*-Baums:

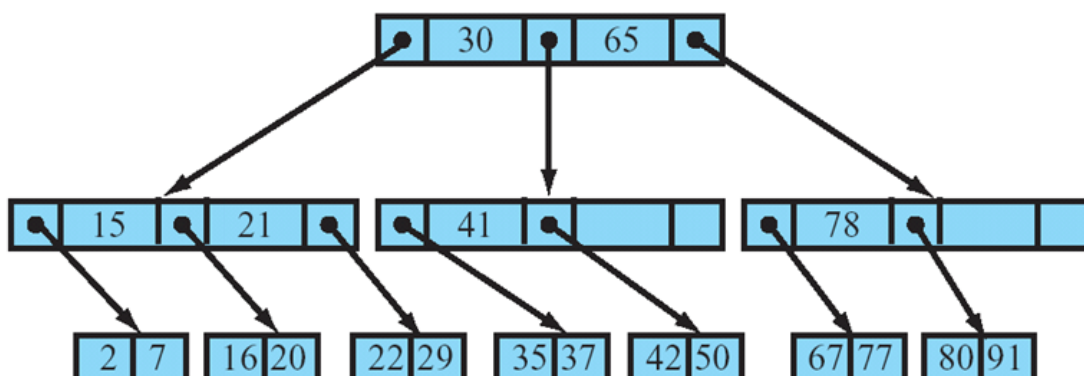
Höhe 2 – 4 bei  $10^5 - 10^8$  Datensätzen



## B\*-Baum (3)

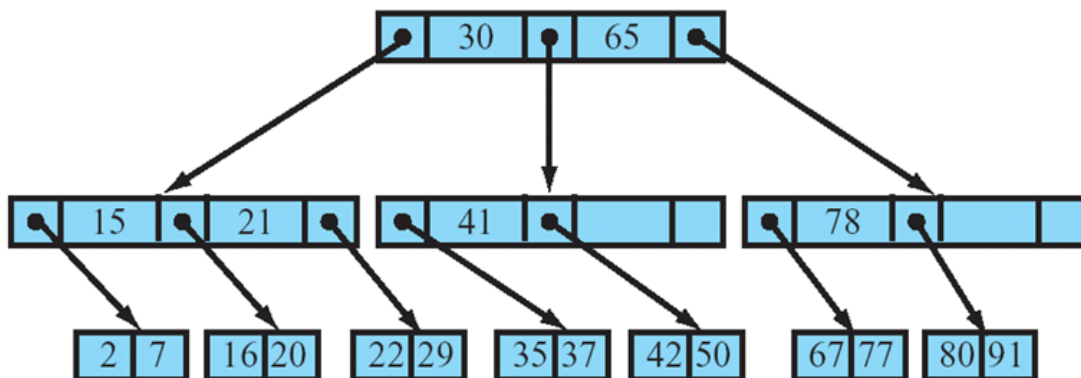
- Suche im B\*-Baum (Lookup)

- beginnend im Wurzelknoten; jeder Knoten wird von links nach rechts durchsucht
- Ist der gesuchte Wert kleiner oder gleich  $S_i$ , wird die Suche in der Wurzel des von  $Z_{i-1}$  identifizierten Teilbaums fortgesetzt
- Ist der gesuchte Wert größer als  $S_i$ , wird der Vergleich mit  $S_{i+1}$  fortgesetzt. Ist auch der letzte Schlüsselwert  $S_m$  im Knoten noch kleiner als der gesuchte Wert, wird die Suche im Teilbaum von  $Z_m$  fortgesetzt
- der derart ermittelte Blattknoten wird von links nach rechts nach dem Schlüsselwert durchsucht; wird er nicht gefunden, war die Suche erfolglos (kein Treffer)



# B\*-Baum: Anfragebearbeitung

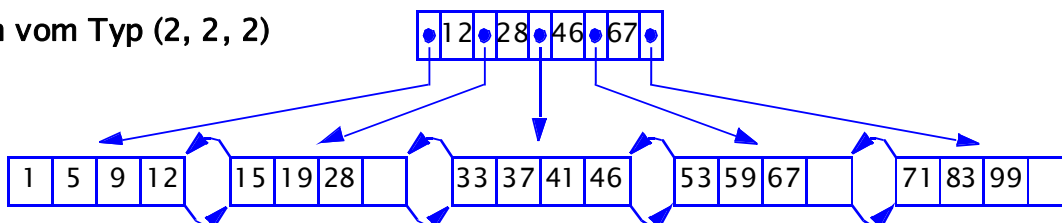
- unterstützte Zugriffe/Suchanfragen:
  - direkter Schlüsselzugriff sowie sortiert sequentieller Zugriff
  - exakte Anfragen und Bereichsanfragen
  - Präfix-Match-Anfragen, Extremwertanfragen ...



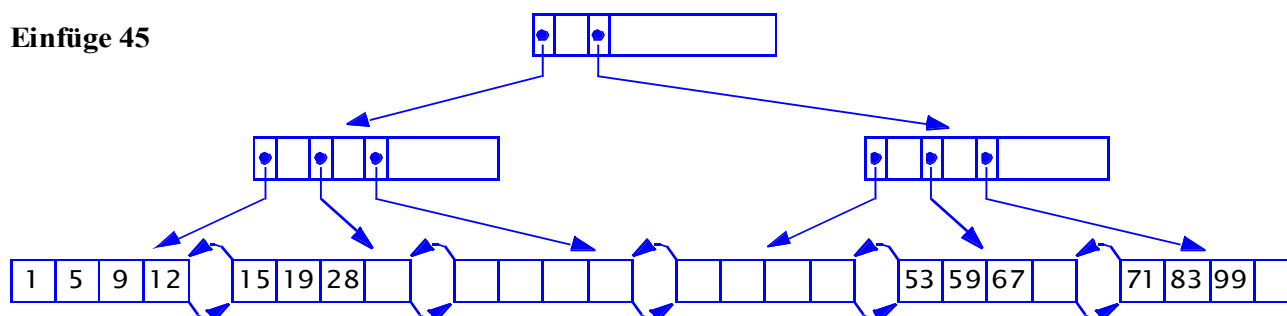
## Einfügen im B\*-Baum

- Vorgehensweise
  - zunächst Abstieg durch den Baum wie bei der Suche
  - Einfügen des Satzes stets im Blattknoten
  - falls Blattknoten bereits voll, muss ein neuer Knoten erzeugt und ein gleichmäßiges Aufteilen der  $(2k^*+1)$  Sätze auf zwei Seiten vorgenommen werden (Splitting)
  - Splitting erfordert Anpassung der Verzweigungsinformation in den Vorgängerknoten

B\*-Baum vom Typ (2, 2, 2)



Einfüge 45



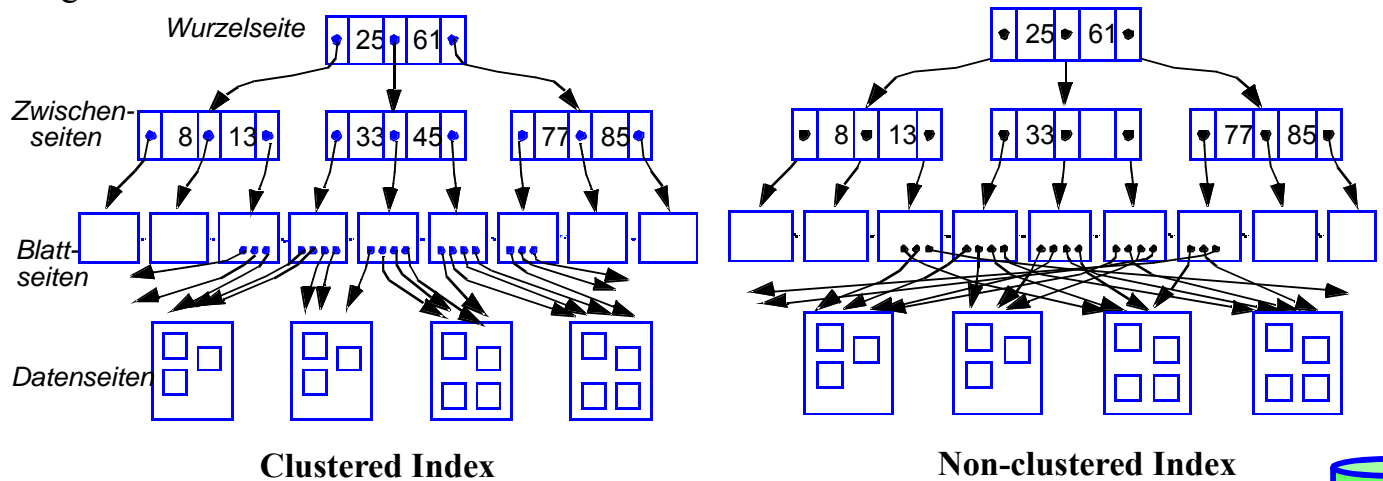
# B\*-Baum mit/ohne Clusterung der Sätze

## ■ Index mit Clusterbildung (**clustered index**)

- Clusterbildung der Sätze in den Datenseiten mit Sortierung nach Indexattribut oder direkte Speicherung der Sätze in Indexblättern
- sehr effiziente Bearbeitung von Präfix-Match- und Bereichsanfragen sowie sortierter Ausgabe
- maximal 1 Clustered Index pro Relation

## ■ **Non-clustered Index**

- impliziert indirekten Index
- gut v.a. für selektive Anfragen und Berechnung von Aggregatfunktionen sowie bei relativ großen Sätzen



# B\*-Baum: Optimierungen

## ■ Merkmale B\*-Baum

- innere Knoten enthalten nur Verzweigungsinformation (kleine Einträge günstig für geringe Baumhöhe)
- für jeden Satz müssen h Seiten gelesen werden
- Kette der Blattknoten liefert alle Sätze nach Schlüsselwert sortiert (->Clustermöglichkeit)

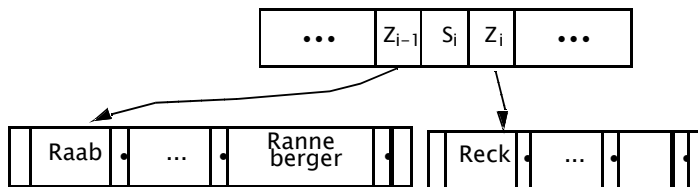
## ■ Optimierungsziel: wenige Seiten und niedrige Höhe

- möglichst große Seiten
- möglichst hoher Verzweigungsgrad (Fan-Out) -> mehr Einträge pro Seite
- möglichst kurze Schlüsselwerte (-> Schlüsselkomprimierung)
- möglichst hohe Seitenbelegung (-> verallgemeinerte Splitting-Verfahren)



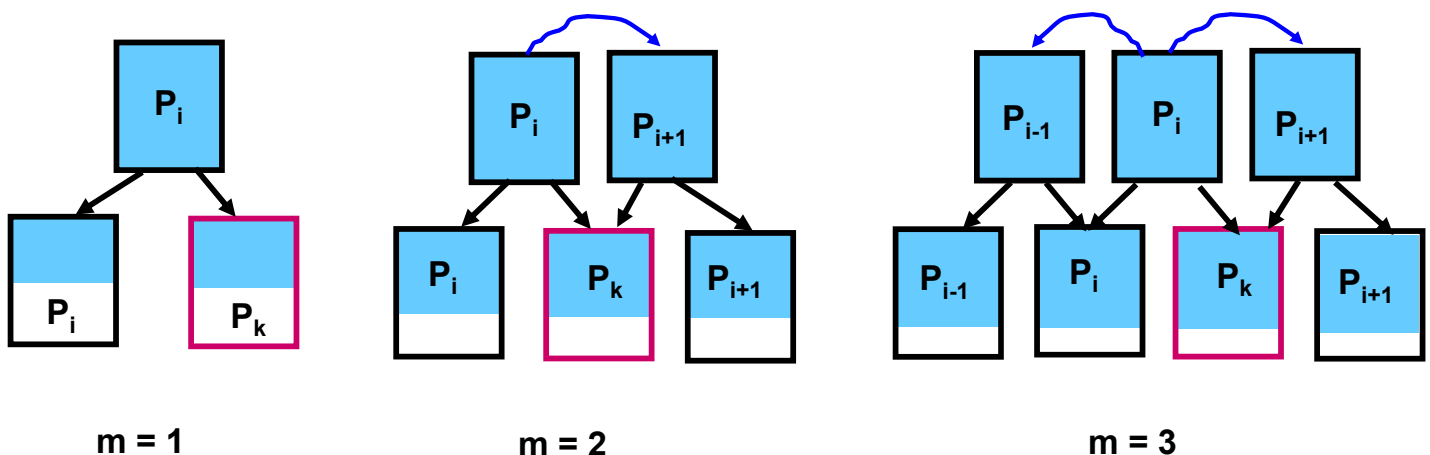
# Präfix/Suffix-Komprimierung

- Zeichenkomprimierung ermöglicht weit höhere Anzahl von Einträgen pro Seite, v.a. für lange, alphanumerische Schlüssel (z.B. Namen)
- Präfix-Komprimierung
  - mit Vorgängerschlüssel übereinstimmender Schlüsselanfang (Präfix) wird nicht wiederholt
  - v.a. wirkungsvoll für Blattseiten in B\*-Bäumen
  - höherer Aufwand zur Schlüsselrekonstruktion
- Suffix-Komprimierung
  - für innere Knoten ist vollständige Wiederholung von Schlüsselwerten für Wegweiserfunktion meist nicht erforderlich
  - Weglassen des zur eindeutigen Lokalisierung nicht benötigten Schlüsselendes (Suffix)
  - *Präfix-B\*-Bäume*: Verwendung minimaler Separatoren (Präfixe) in inneren Knoten



## Verallgemeinertes Splitting bei B\*-Bäumen

- Splitting erfolgt für  $m$  volle Seiten
- Standard  $m=1$ : Überlauf führt zu zwei halb vollen Seiten:  
 $b_{\min}=0,5$  (50%),  $b_{\text{avg}}=\ln 2$  (ca. 69%),  $b_{\max}=1$  (100%)
- $m>1$  verbessert Speicherbelegung (reduziert Seitenzahl / Baumhöhe)  
 $b_{\min}=m/(m+1)$ ,  $b_{\text{avg}}=\ln((m+1)/m)$ ,  $b_{\max}=1$



$m = 1$

$m = 2$

$m = 3$

# Hash-Verfahren

- direkte Berechnung der Speicheradresse eines Satzes über Schlüssel (Schlüsseltransformation)
- Hash-Funktion  $h: S \rightarrow \{1, 2, \dots, n\}$

$S = \text{Schlüsselraum}$

$n = \text{Größe des statischen Hash-Bereiches in Seiten (Buckets)}$

- Vielzahl von Hash-Funktionen nutzbar, z.B. Divisionsrestverfahren
  - alphanumerische Schlüssel können zunächst auf numerischen Wert abgebildet werden, z.B. durch "Faltung"
- Idealfall: jeder Satz wird in zugeordneter Seite gefunden: Zugriffsfaktor 1
  - aber: injektive Hash-Funktion meist nicht möglich  $\rightarrow$  Kollisionsbehandlung
- Statische Hash-Bereiche mit Kollisionsbehandlung
  - vorhandene Schlüsselmenge  $K$  ( $K \subseteq S$ ) soll möglichst gleichmäßig auf die  $n$  Buckets verteilt werden
  - Behandlung von Synonymen: Aufnahme im selben Bucket, wenn möglich; ggf. Anlegen und Verketteten von Überlaufseiten
  - typischer Zugriffsfaktor: 1.1 bis 1.4



## Statisches Hash-Verfahren mit Überlaufbereichen: Beispiel

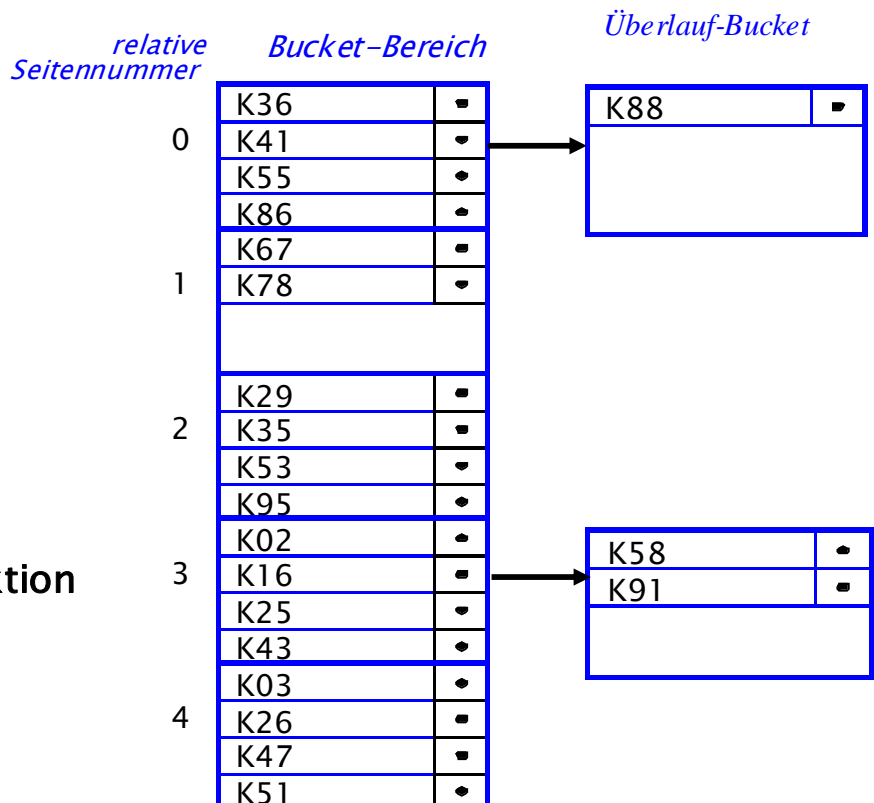
**Adreßberechnung für Schlüssel K02**

### 1. Faltung

$$\begin{array}{r}
 1101\ 0010 \\
 \oplus 1111\ 0000 \\
 \oplus 1111\ 0010 \\
 \hline
 1101\ 0000 = 208_{10}
 \end{array}$$

### 2. Anwendung der Hash-Funktion

$$208 \bmod 5 = 3$$

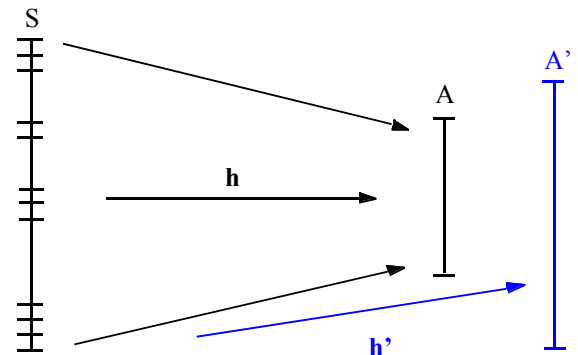


# Dynamische Hash-Verfahren

## ■ Wachstumsproblem bei statischen Verfahren

- Statische Allokation von Speicherbereichen: Speicherausnutzung?
- Bei Erweiterung des Adressraumes: Re-Hashing
- Alle Sätze erhalten eine **neue Adresse**

sehr hoher Reorganisationsaufwand!



## ■ Entwurfsziele für bessere Hash-Verfahren

- dynamische Struktur, die Wachstum und Schrumpfung des Hash-Bereichs erlaubt
- keine Überlauftechniken
- Zugriffsfaktor  $\leq 2$  für die direkte Suche

## ■ Viele konkurrierende Ansätze

- Extendible Hashing
- Virtual Hashing und Linear Hashing
- Dynamic Hashing



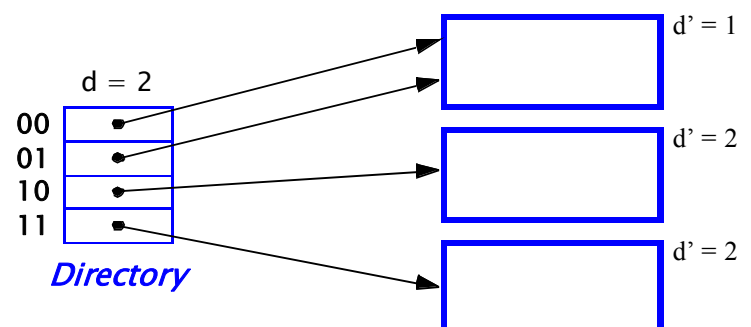
# Erweiterbares Hash-Verfahren (Extendible Hashing)

## ■ dynamisches Wachsen und Schrumpfen des Hash-Bereiches

- Buckets werden erst bei Bedarf bereitgestellt
- hohe Speicherplatzbelegung möglich

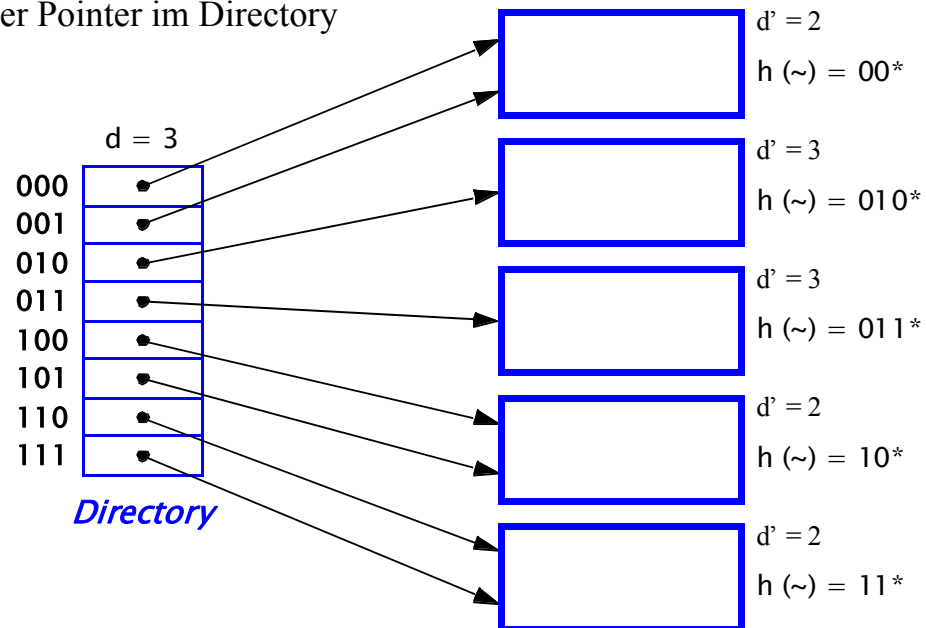
## ■ keine Überlauf-Bereiche, jedoch Zugriff über Directory

- max. 2 Seitenzugriffe
- Hash-Funktion generiert Pseudoschlüssel zu einem Satz
- $d$  Bits des Pseudoschlüssels werden zur Adressierung verwendet ( $d$  = globale Tiefe)
- Directory enthält  $2^d$  Einträge; Eintrag verweist auf Bucket, in dem alle zugehörigen Sätze gespeichert sind
- in einem Bucket werden nur Sätze gespeichert, deren Pseudoschlüssel in den ersten  $d'$  Bits übereinstimmen ( $d'$  = lokale Tiefe)
- $d = \text{MAX}(d')$



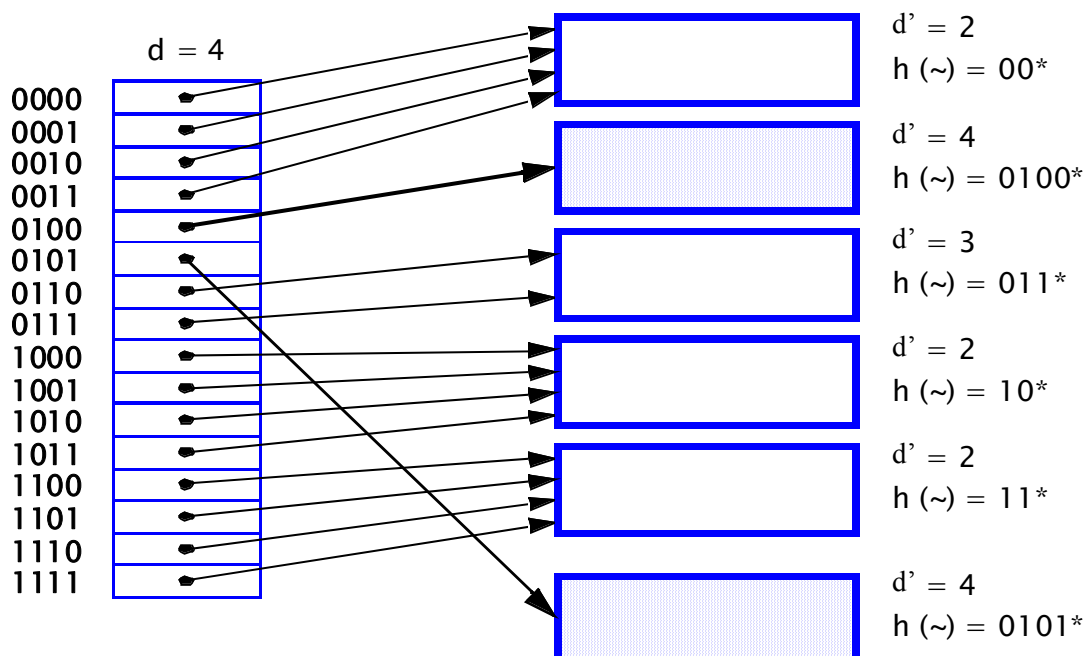
# Erweiterbares Hashing: Splitting von Buckets

- Fall 1: Überlauf für Bucket mit lokaler Tiefe kleiner der globalen Tiefe  $d$ 
  - lokale Neuverteilung der Daten
  - Erhöhung der lokalen Tiefe
  - lokale Korrektur der Pointer im Directory



# Erweiterbares Hashing: Splitting von Buckets (2)

- Fall 2: Überlauf eines Buckets, dessen lokale Tiefe gleich der globalen Tiefe ist
  - lokale Neuverteilung der Daten (Erhöhung der lokalen Tiefe)
  - Verdopplung des Directories (Erhöhung der globalen Tiefe)
  - globale Korrektur/Neuverteilung der Pointer im Directory



# Grobvergleich der Zugriffskosten (#Seiten)

Beispielangaben für  $N = 10^6$  Sätze

Speicherungs-/Indexstruktur	Direkter Zugriff	Sortiert-sequentielle Verarbeitung
gekettete Liste	$O(N) \approx 5 \cdot 10^5$	$O(N) \approx 10^6$
sequentielle Liste/Clustering	$O(N) \approx 10^4$	$O(N) \approx c \cdot 10^4$
Mehrwegbäume (B*-Bäume)	$O(\log_k N) \approx 3 - 5$	$O(N) \approx 10^6$
Clustered index	$O(\log_k N) \approx 3 - 5$	$O(N) \approx c \cdot 10^4$
Statisches Hashing mit Überlaufbereich	$O(1) (\approx 1.1 - 1.4)$	$O(N \log_2 N) (*)$
Erweiterbares Hashing	$O(1) = 2$	$O(N \log_2 N) (*)$

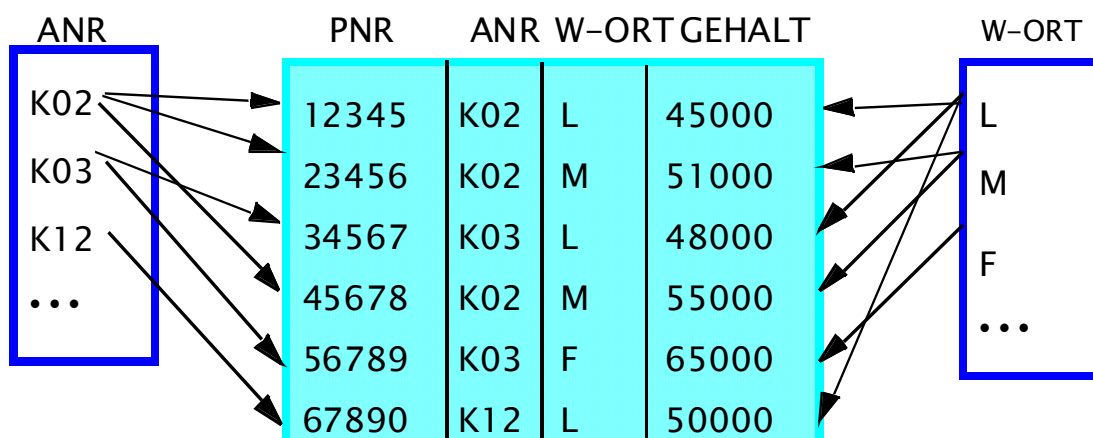
c vergleichsweise kleine Konstante

(\*) Physisch sequentielles Lesen, Sortieren und sequentielles Verarbeiten der gesamten Sätze



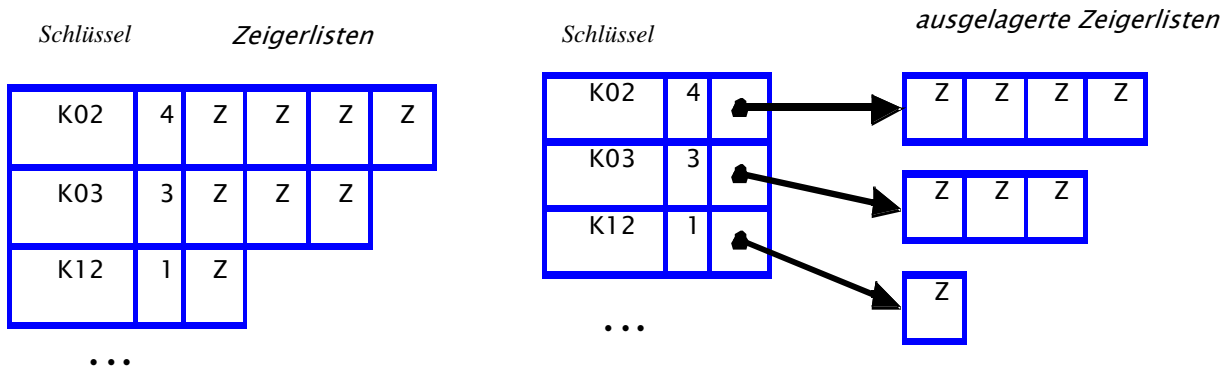
## Zugriffspfade für Sekundärschlüssel

- *Sekundärschlüssel*: nicht-identifizierendes Attribut; i.a. keine Eindeutigkeit
- Suchanfragen liefern i.a. mehr als 1 Treffer (Satzmengen)



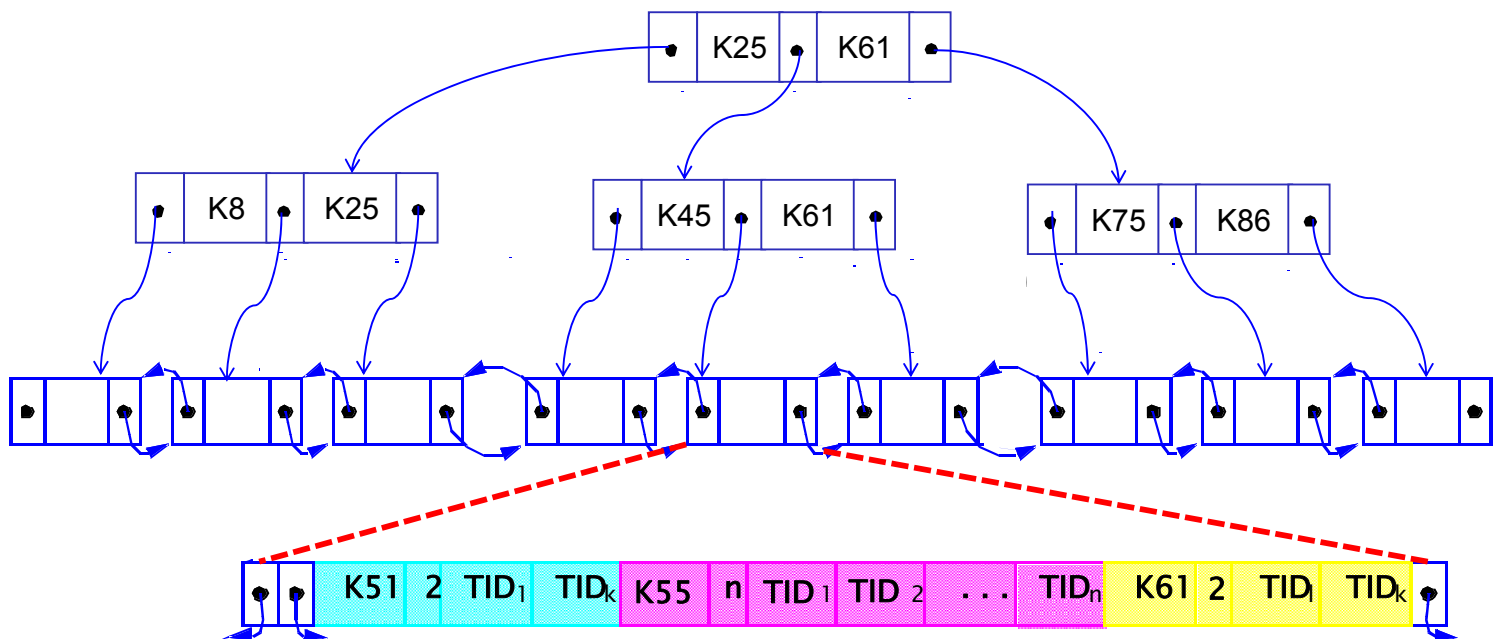
# Invertierungstechniken

- Invertierung: Indexstruktur mit Zeigerlisten bzw. Bitvektoren (N Bit pro Wert) pro Attributwert
- effiziente Berechnung mengenalgebraischer Operationen (Durchschnitt/AND-Bedingung, Vereinigung/OR-Bedingung; Komplement / NOT)



- Speicherplatzbedarf für Zeigerlisten (TID-Listen) vs. Bitlisten
  - N Sätze;
  - TID-Länge t
  - k unterschiedliche Attributwerte

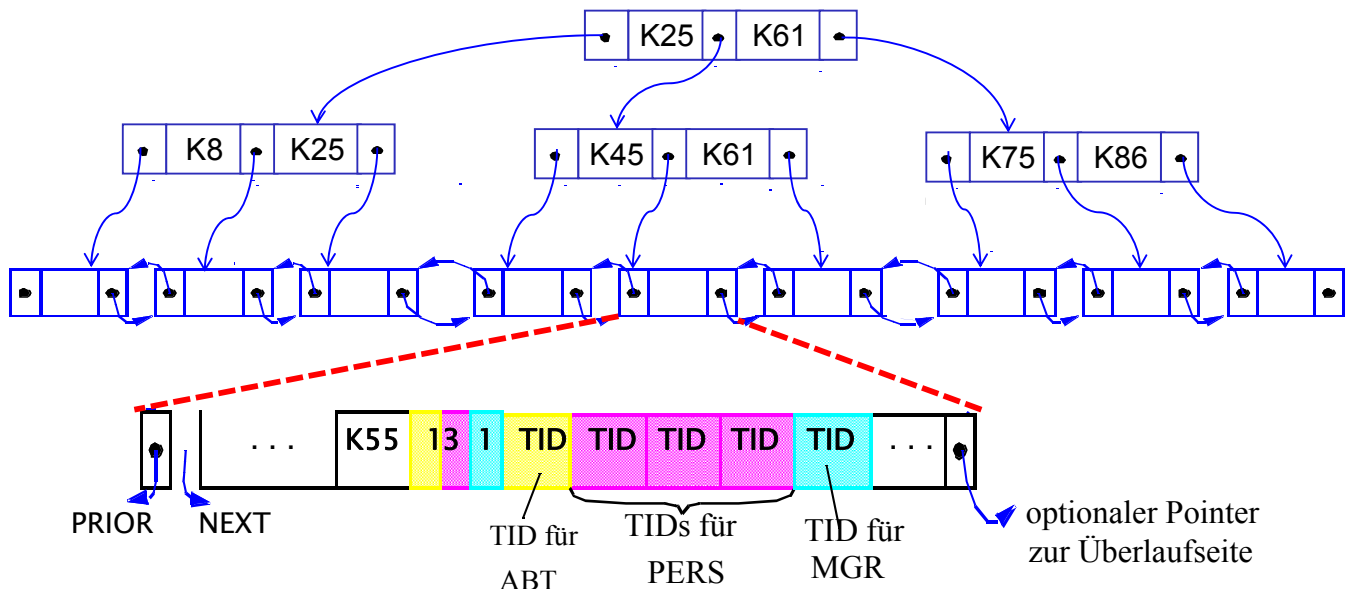
## B\*-Baum-Nutzung für Sekundärschlüssel



ANR-Index für Mitarbeiter-Tabelle

# Verallgemeinerte Zugriffspfadstruktur (Join-Index)

- B\*-Baum kann als gemeinsamer Index für Primär- und Fremdschlüssel verwendet werden
- Unterstützung von Joins bzw. hierarchischen Zugriffen zwischen Relationen
- Beispiel: ANR-Index für ABT und PERS und MGR



## Verallgemeinerte Zugriffspfadstruktur: Bewertung

### ■ Prinzip

- kombinierte Realisierung von Primär-, Sekundär- und hierarchischen Zugriffspfaden
- gemeinsame Verwendung von B\*-Baum für mehrere Satztypen, für die Beziehungen (1:1, 1:n, n:1, n:m) durch Wertegleichheit in demselben Attribut (z.B. ANR) repräsentiert sind
- innere Baumknoten bleiben unverändert; Blätter enthalten Verweise für primäre und sekundäre Zugriffspfade

### ■ Erhöhung der Anzahl der Blattseiten

- mehr Seitenzugriffe beim sequentiellen Lesen einer Relation in Sortierordnung
- aber: Höhe des Baumes bleibt meist erhalten: ähnliches Leistungsverhalten beim Aufsuchen von Daten und beim Änderungsdienst

### ■ Vorteile

- einheitliche Struktur für alle Zugriffspfadtypen: Vereinfachung der Implementierung
- Schlüssel werden nur einmal gespeichert: Speicherplatzersparnis
- Unterstützung der Join-Operation sowie bestimmter statistischer Anfragen
- einfache Überprüfung der referentiellen Integrität sowie weiterer Integritätsbedingungen (z.B. Kardinalitätsrestriktionen)

# Bitlisten-Indizes

- herkömmliche Indexstrukturen ungeeignet für Suchbedingungen geringer Selektivität
  - z.B. für Attribute (Dimensionen) mit nur wenigen Werten (Geschlecht, Farbe, Jahr ...)
  - pro Attributwert sehr lange Verweislisten (TID-Listen) auf zugehörige Sätze
  - nahezu alle Datenseiten zu lesen
- Standard-Bitlisten-Index (**Bitmap Index**):

– Index für Attribut A umfasst eine Bitliste (Bitmap, Bitvektor)  $B_{A_j}$  für jeden der k Attributwerte  $A_1 \dots A_k$

– Bitliste umfasst 1 Bit pro Satz (bei N Sätzen Länge von N Bits)

– Bitwert 1 (0) an Stelle i von  $B_{A_j}$  gibt an, dass Satz i Attributwert  $A_j$  aufweist (nicht aufweist)

KID	Geschlecht	Lieblingsfarbe
122	W	Rot
123	M	Rot
124	W	Weiß
125	W	Blau
...	...	...

*Kunde*

```

Blau  00011000100011000011000000001001000
Rot   110000000001001000001000000110000001
Weiß  001000000110000001000001110000000110
Grün  000001110000000110000110001000110000 ...
    
```



## Bitlisten-Indizes (2)

- Vorteile
  - geringer Speicherplatzbedarf bei kleinen Wertebereichen
  - effiziente AND-, OR-, NOT-Verknüpfung zur Auswertung mehrdimensionaler Suchausdrücke
  - effiziente Unterstützung von Data-Warehouse-Anfragen (Joins)

### ■ Kostenvergleich für Beispielanfrage

Select ... WHERE A1 = C1 AND A2=C2 AND A3=C3 AND A4=C4  
 10 Millionen Sätze; pro Teilbedingung Selektivität 5%

Verarbeitungsdauer ohne Index (Scan):

Bitlisten-Umfang:

Anzahl Treffer im Suchergebnis:





# Kodierte Bitlisten-Indizes

## ■ Speicherplatzersparnis durch kodierte Bit-Listen (encoded bitmap indexing)

- Standardverfahren: pro Satz ist nur in einer der  $k$  Bitlisten das Bit gesetzt
- jede der  $k$  Wertemöglichkeiten kann durch  $\log_2 k$  Bits kodiert werden  
=> nur noch  $\log_2 k$  Bitlisten

	Kodierung	$F_1$	$F_0$	2 Bitvektoren
Blau	0001100010001 ...	Blau		$F_1$
Rot	1100000000010 ...	Rot		$F_0$
Weiß	0010000001100 ...	Weiß		
Grün	0000011100000 ...	Grün		

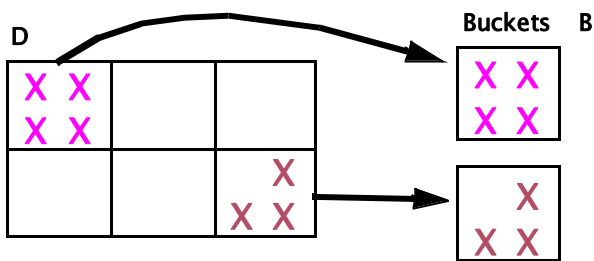
## ■ Auswertung von Suchausdrücken

- höherer Aufwand bei nur 1 Bedingung ( $\log_2 k$  Bitlisten statt 1 abzuarbeiten)
- bei mehreren Bedingungen wird auch Auswertungsaufwand meist reduziert

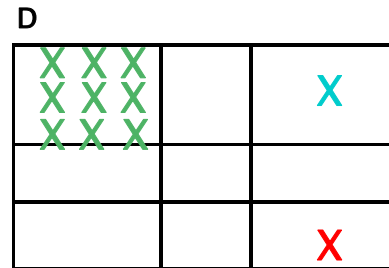


# Grundprobleme räumlicher (mehrdim.) Zugriffe

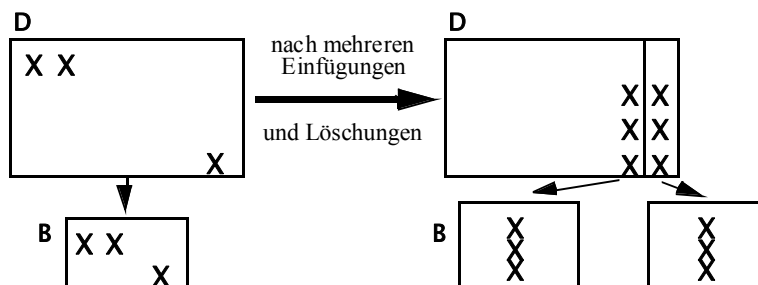
## 1. Erhaltung der topologischen Struktur



## 2. Stark variierende Dichte der Objekte



## 3. Dynamische Reorganisation



## 4. Objektdarstellung: Punktobjekte sowie Objekte mit Ausdehnung

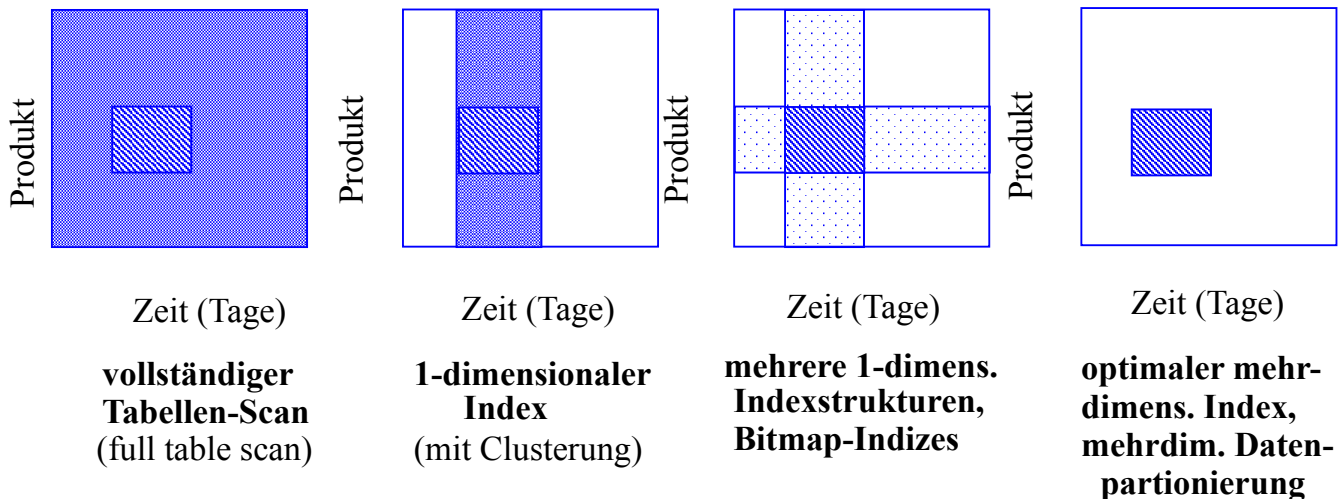
## 5. balancierte Zugriffsstruktur

- Beliebige Belegungen und Einfüge-/Löschreihenfolgen
- Garantie eines gleichförmigen Zugriffs: 2 oder 3 Externspeicherzugriffe



# Indexunterstützung für mehrdimens. Anfragen

## ■ Eingrenzung des Datenraumes



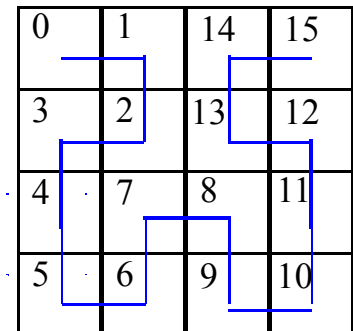
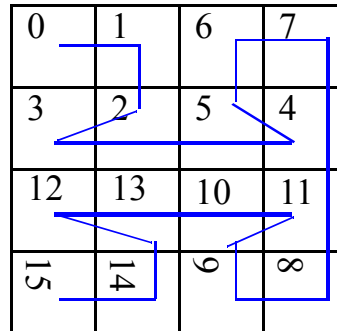
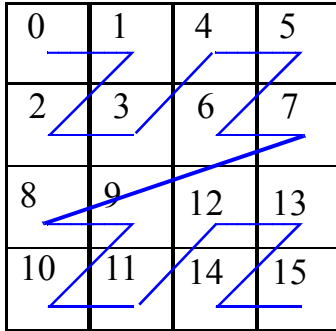
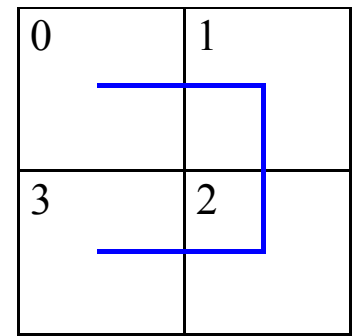
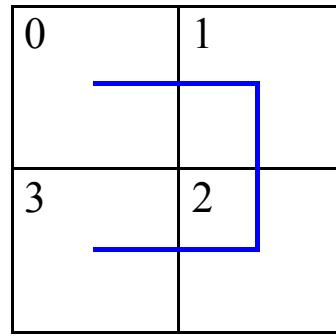
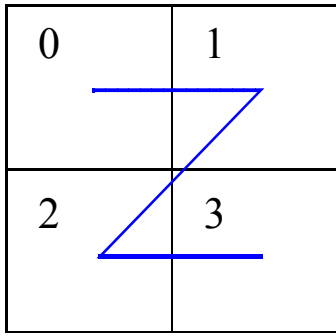
## ■ Verwendung eindimensionaler Indexstrukturen

- Mischen mehrerer Trefferlisten für Anfragen wie  $(\text{Key1} = \text{K1i}) \left\{ \begin{array}{c} \text{OR} \\ - \\ \text{AND} \end{array} \right\} (\text{Key2} = \text{K2j})$
- Clusterung höchstens bezüglich eines Attributs (eine Dimension)
- Topologie wird nicht erhalten
- Index auf konkatenierten Attributen unterstützt nur sehr eingeschränkt Mehrattributsuche

## Eindimensionale Einbettung

- Transformation mehrdimensionaler Punktobjekte für eindimensionale Repräsentation, z.B. mit B\*-Bäumen
- möglichst Wahrung der topologischen Struktur (Unterstützung mehrdimensionaler Bereichs- und Nachbarschaftsanfragen)
- Ansatz
  - Partitionierung des Datenraums D zunächst durch gleichförmiges Raster
  - eindeutige Nummer pro Zelle legt Position in der totalen Ordnung fest
  - Reihenfolge bestimmt eindimensionale Einbettung: *space filling curve*
- Zuordnung aller mehrdimensionalen Punktobjekte einer Zelle zu einem Bucket (Seite)
- jede Zelle kann bei Bedarf separat (und rekursiv) unter Nutzung desselben Grundmusters weiter verfeinert werden

# Eindimensionale Einbettungen



a) z-Ordnung

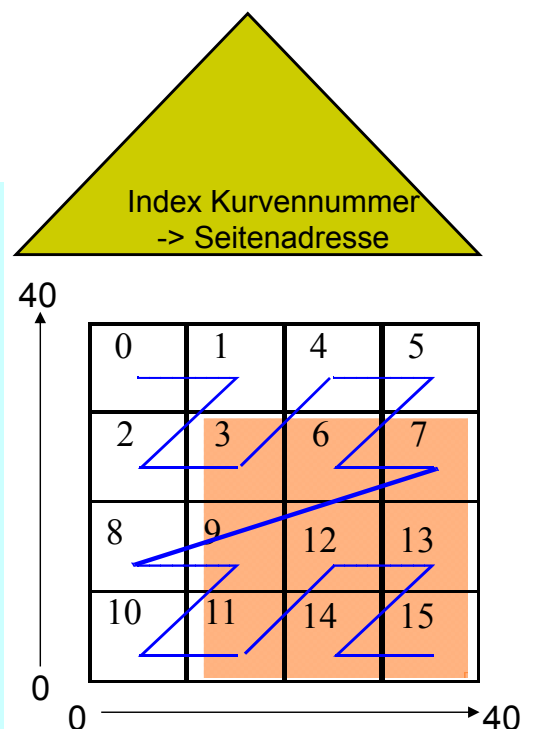
b) Gray-Code

c) Hilbert's Kurve

## Beispiel Z-Kurve

Range-Query bzgl. dem Suchintervall  $[12, 38] \times [1, 29]$

- Zu lesende Kurvennummern: 3, 6, 7, 9, 11, 12, 13, 14 und 15
- Mögliche Suchschritte:
  1. Einstieg in Seite zu Kurvennummer 3
  2. Lesen von Nr. 6 und 7
  3. Lesen von Nr. 9
  4. dann lineares Lesen der Seiten zu 11 bis 15 über Listenverkettung



# Grid-File (Gitterdatei)

## ■ Organisation des Datenraumes D

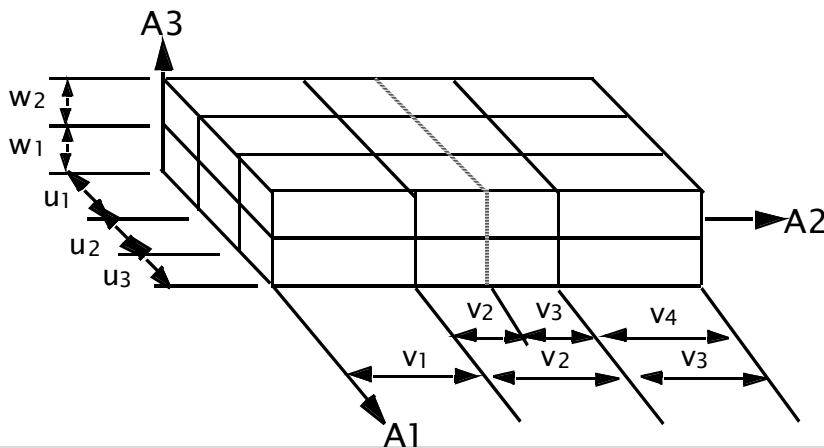
- D wird durch ein **orthogonales Raster** (grid) partitioniert, so dass k-dimensionale Zellen (Grid-Blöcke) entstehen
- die in den Zellen enthaltenen Objekte werden Buckets zugeordnet
- es muss eine eindeutige Abbildung der Zellen zu den Buckets gefunden werden

## ■ dynamische Anpassung über Dimensionsverfeinerung

- ein Abschnitt in der ausgewählten Dimension wird durch einen vollständigen Schnitt durch D verfeinert

## ■ Ziele: Erhaltung der Topologie

- effiziente Unterstützung aller Fragetypen
- vernünftige Speicherplatzbelegung



3-dim. Datenraum  $D = A1 \times A2 \times A3$

Zellpartition  $P = U \times V \times W$

Abschnitte der Partition  $U = (u_1, u_2, \dots, u_l)$

$V = (v_1, v_2, \dots, v_m)$

$W = (w_1, w_2, \dots, w_n)$

Veranschaulichung eines Split-Vorganges im Intervall  $v_2$

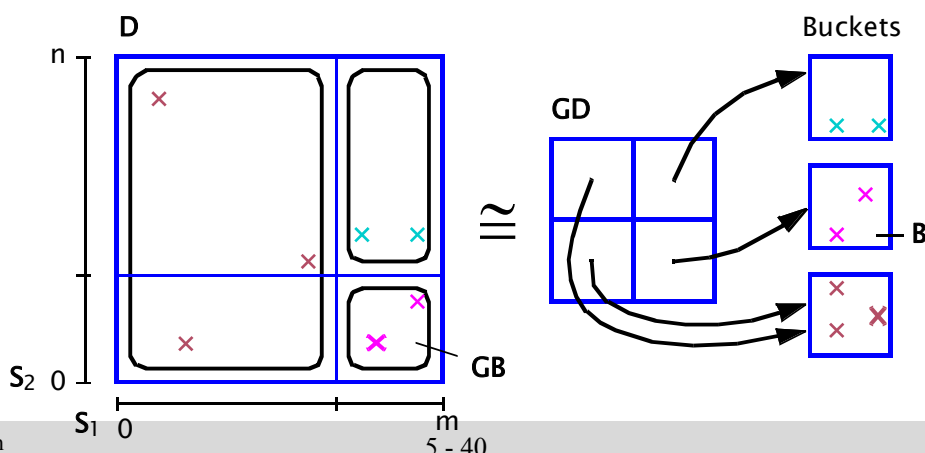
# Grid-File (2)

## ■ Komponenten

- dynamische Aufteilung von D in Gridblöcke (GB)
- k **Skalierungsvektoren** (Scales) definieren Grid auf k-dimensionalen Datenraum D
- **Grid Directory** GD: dynamische k-dim. Matrix zur Abbildung von D auf die Menge der Buckets
- Bucket: Speicherung der Objekte eines oder mehrerer Gridblöcke (Bucketbereich)

## ■ Eigenschaften

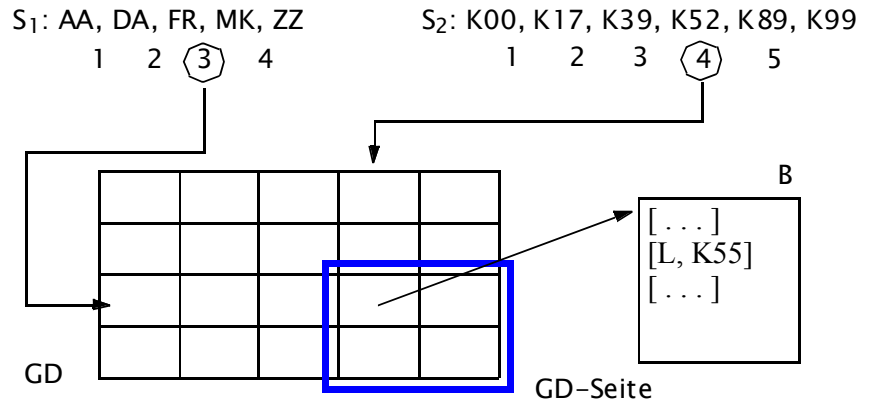
- 1:1-Beziehung zwischen Gridblock GB und Element von GD
- Element von GD = Pointer zu Bucket B
- n:1-Beziehung zwischen GB und B



# Grid File - Suchfragen

## ■ Punktfrage (exact match)

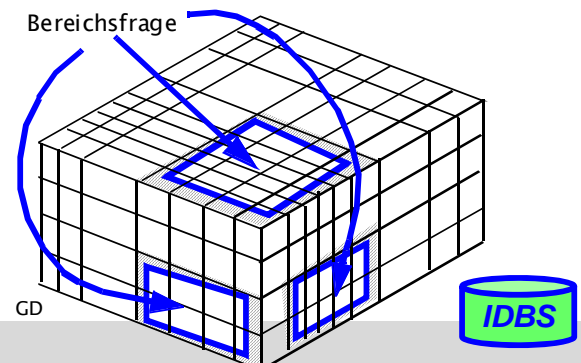
```
SELECT *
FROM PERS
WHERE ORT = 'L'
AND ANR = 'K55'
```



– 2 Plattenzugriffe: unabhängig von Werteverteilungen, #Operationen und #Sätze

## ■ Bereichsfrage

- Bestimmung der Skalierungswerte in jeder Dimension
- Berechnung der qualifizierten GD-Einträge
- Zugriff auf die GD-Seite(n) und Holen der referenzierten Buckets



# R-Baum

## ■ Zugriffspfad für ausgedehnte räumliche Objekte

- Objektapproximation durch schachtelförmige Umhüllung
- Hauptoperationen: Punkt- sowie Gebietsanfragen

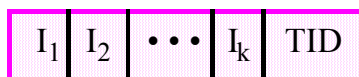
## ■ Ansatz: Speicherung und Suche von achsenparallelen Rechtecken

- Objekte werden durch Datenrechtecke repräsentiert und müssen durch kartesische Koordinaten beschrieben werden
- Repräsentation im R-Baum erfolgt durch minimale begrenzende (k-dimensionale) Rechtecke/Regionen
- Suchanfragen beziehen sich ebenfalls auf Rechtecke/Regionen

## ■ R-Baum ist höhenbalancierter Mehrwegebaum

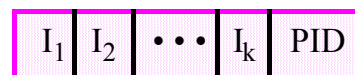
- jeder Knoten entspricht einer Seite
- pro Knoten maximal M, wenigstens m ( $\geq M/2$ ) Einträge

### Blattknoteneintrag:



kleinstes umschreibendes Rechteck für TID

### Zwischenknoteneintrag:



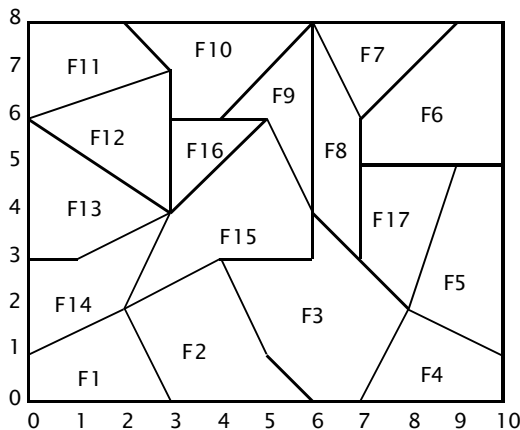
Intervalle beschreiben kleinstes umschreibendes Rechteck für alle in PID enthaltenen Objekte

$I_j$  = geschlossenes Intervall bzgl. Dimension j

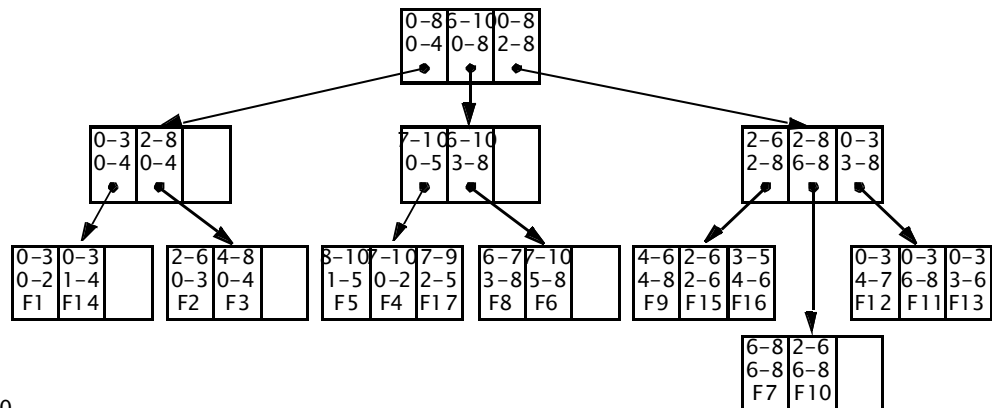
TID: Verweis auf Objekt PID: Verweis auf Sohn

# Abbildung beim R-Baum

Flächenobjekt



Zugehöriger R-Baum



## Eigenschaften

- starke Überlappung der umschreibenden Rechtecke auf allen Baumebenen möglich
- bei Suche nach überlappenden Rechtecken sind ggf. mehrere Teilbäume zu durchlaufen



# Textsuche in Dokumentkolektionen

## DB mit Kollektion von Dokumenten / Texten

```
CREATE TABLE Dokument
( DokID    int primary key,
  URL      varchar (60),
  Autor    varchar (60),
  Titel    varchar (60),
  Jahr     nt,
  Abstract CLOB,
  Volltext CLOB ... )
```

```
SELECT URL
FROM Dokument
WHERE CONTAINS (Volltext,
"(multimedial OR objektorientiert OR
intelligent) AND
(Datenbank OR Informationssystem)" )
AND Jahr > 2005
```

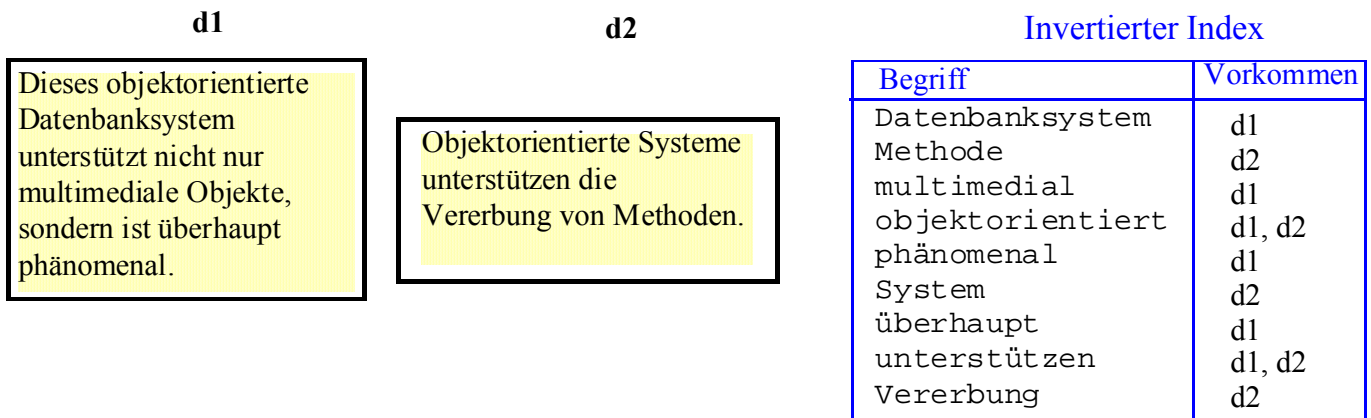
## Ziel: Unterstützung von Information-Retrieval-Anfragen nach Textinhalten / Deskriptoren

- Suche nach bestimmten Wörtern/Schlüsselbegriffen/Deskriptoren (nicht nach beliebigen Zeichenketten)
- ggf. Abfangen sogenannter „Stop-Wörter“ (der, die, das, ist, er ...)
- Boole'sche Anfragen zur Verknüpfung mehrerer Suchbedingungen
- "unscharfe" Anfragen; Berücksichtigung von Wort-Stammformen
- Ranking von Ergebnissen (Berücksichtigung von Begriffshäufigkeiten, Nachbarschaftvorkommen in einem Satz / Paragraphen ...)



# Invertierte Listen

- Invertierung: Verzeichnis (Index) aller Vorkommen von Schlüsselbegriffen
  - lexikographisch sortierte Liste der vorkommenden Schlüsselbegriffe
  - pro Eintrag (Begriff) Liste der Dokumente (Verweise/Zeiger), die Begriff enthalten
  - eventuell zusätzliche Information pro Dokument wie Häufigkeit des Auftretens oder Position der Vorkommen
- Beispiel

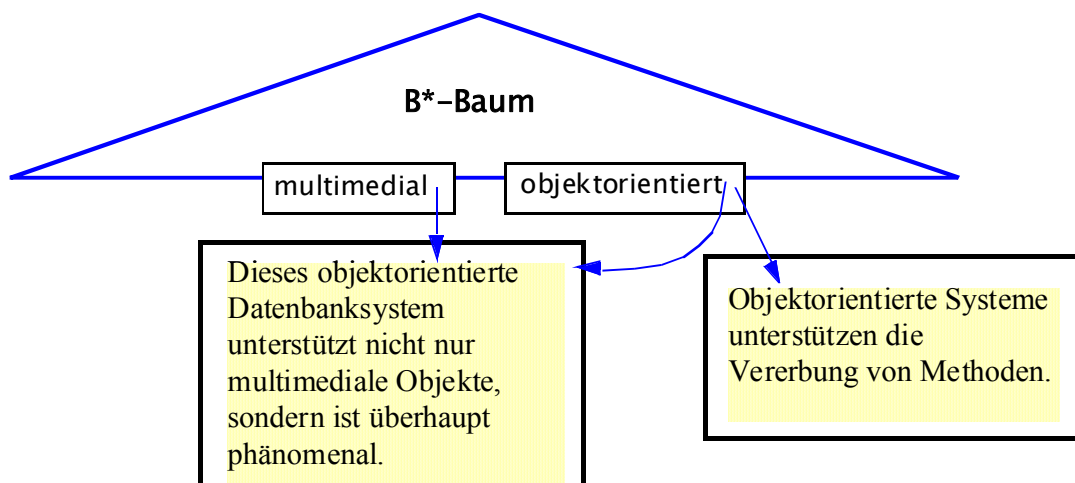


- Zugriffskosten werden durch Datenstruktur zur Verwaltung der invertierten Liste bestimmt (B\*-Baum, Hash-Verfahren ...)



## Invertierte Listen (2)

- effiziente Realisierung über (indirekten) B\*-Baum
  - variabel lange Verweis/Zeigerlisten pro Schlüssel auf Blattebene
  - eventuell zusätzliche Information pro Dokument wie Häufigkeit des Auftretens oder Position des ersten Vorkommens



- Boole'sche Operationen: Verknüpfung von Zeigerlisten
  - Beispiel: Suche nach Dokumenten mit „multimedial“ UND „objektorientiert“



# Signatur-Dateien

- Alternative zu invertierten Listen: Einsatz von *Signaturen*
  - zu jedem Dokument wird Bitvektor fester Länge (*Signatur*) geführt
  - Begriffe werden über Signaturgenerierungsfunktion (Hash-Funktion)  $s$  auf Bitvektor abgebildet
  - OR-Verknüpfung der Bitvektoren aller im Dokument vorkommenden Begriffe ergibt *Dokument-Signatur*
- Suchbegriffe werden über dieselbe Signaturgenerierungsfunktion  $s$  auf eine *Anfragesignatur* abgebildet
  - Kombination mehrerer Suchbegriffe durch OR, AND, NOT-Verknüpfung der Bitvektoren
  - wegen Nichtinjektivität der Signaturgenerierungsfunktion muss bei ermittelten Dokumenten geprüft werden, ob tatsächlich ein Treffer vorliegt
- Eigenschaften
  - geringer Platzbedarf für Dokumentensignaturen
  - Zugriffskosten aufgrund Nachbearbeitungsaufwand bei „False Matches“ meist höher als bei invertierten Listen

Signaturgenerierungsfunktion:

objektorientiert -> Bit 0  
 multimedial -> Bit 2  
 Datenbanksystem -> Bit 4  
 Vererbung -> Bit 2

Anfrage: Dokumente mit Begriffen "objektorientiert" und "multimedial"

Anfragesignatur:

Signaturen der Dokumente

1	0	1	0	0	0
1	0	1	0	1	0
0	0	1	0	1	1
...					

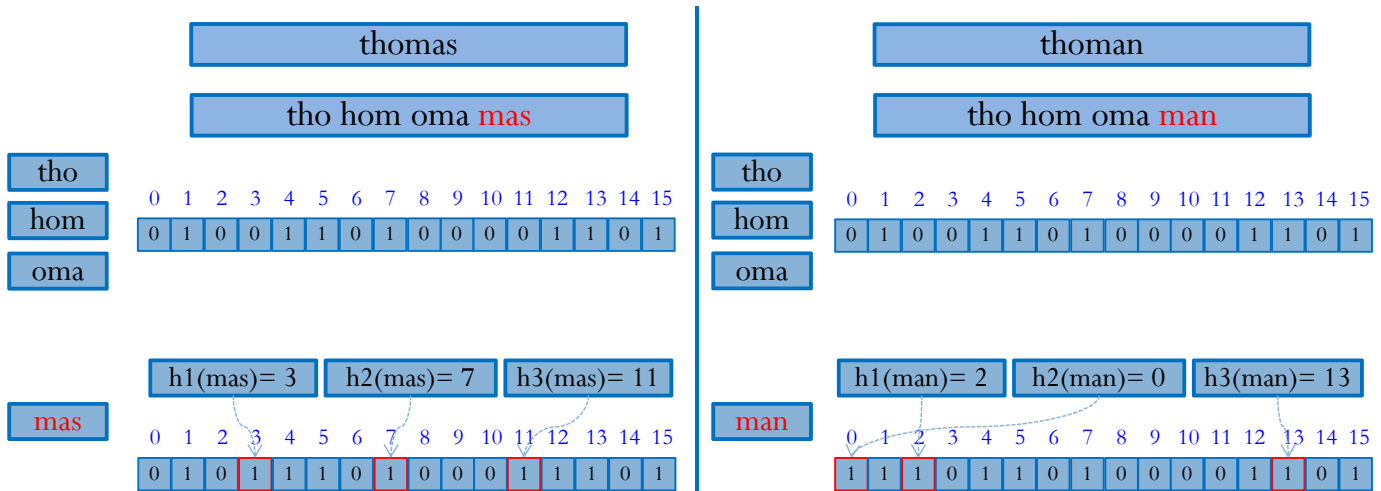
Objektorientierte Systeme unterstützen die Vererbung von Methoden. ...

Dieses objektorientierte Datenbanksystem unterstützt nicht nur multimediale Objekte, sondern ist überhaupt phänomenal.



## Matching mit Bitvektoren

- verwandte Aufgabe: Matching mit Bitvektoren
  - bestimme ähnliche Dokumente
  - bestimme Matching für mit Bitvektoren verschlüsselte Daten, z.B. Personenangaben (privacy-preserving record linkage)
- Match-Ähnlichkeit über Grad der Überlappung der Bitvektoren, z.B. Jaccard-Ähnlichkeit



$$\text{Sim}_{\text{Jaccard}}(r_1, r_2) = (r_1 \wedge r_2) / (r_1 \vee r_2)$$

$$\text{Sim}_{\text{Jaccard}}(r_1, r_2) = 7/11$$





## Matching mit Bitvektoren (2)

- Performance-Problem bei sehr großen Datenmengen / vielen Bitvektoren
  - unoptimiert: quadratischer Aufwand
- Beschleunigung durch Eingrenzung des Suchraumes und/oder Parallelisierung
- Eingrenzung des Suchraumes
  - Blocking
  - Indexierung/Filterung
- Blocking
  - Partitionierung der Sätze (z.B. Dokumente aus bestimmtem Gebiet oder Publikationszeitraum)
  - Vergleich nur zwischen Sätzen ähnlicher Partitionen
- Indexierung/Filterung für minimale Ähnlichkeit
  - Längensfilter
  - Test auf minimale Überlappung mit Präfix
  - spezielle Indexstrukturen, z.B. Signaturbäume, Multibit Trees
  - Nutzung der Dreiecksungleichung für metrische Ähnlichkeitsmaße



## Bitvektoren: Längensfilter

- nur Bitvektoren (kodierte Sätze/Dokumente) ähnlicher Länge können ähnlich sein
  - Länge bzw. Kardinalität: Anzahl gesetzter Bits
- für minimale Jaccard-Ähnlichkeit  $t$  gilt:

$$\text{Sim}_{\text{Jaccard}}(\mathbf{x}, \mathbf{y}) \geq t \Rightarrow |\mathbf{x}| \geq |\mathbf{y}| * t$$

- Beispiel für  $t=0.8$

ID	Bit vector	card.
B	1 0 1 0 0 0 0 0 1 1 0 0 0	4
C	0 0 0 1 1 1 1 1 1 1 0 0 0	7
A	0 1 0 1 1 1 1 1 1 1 0 0 0	8

length filter  
 $7 * 0.8 = 5.6 > 4$

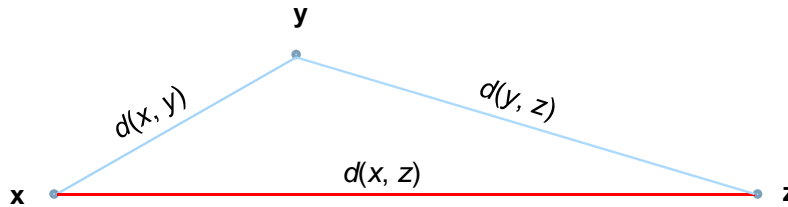
- Satz B mit Länge 4 kann kein Match mit C und allen Sätzen größerer Länge eingehen, z.B., A



# Metrische Distanzmaße

## ■ Eigenschaften von Distanzfunktionen $d$ für metrische Räume

- $d(x, x) = 0$  Reflexivität
- $d(x, y) \geq 0$  Positivheit
- $d(x, y) = d(y, x)$  Symmetrie
- $d(x, y) + d(y, z) \geq d(x, z)$  Dreiecksungleichung



## ■ Distanz entspricht Ähnlichkeit:

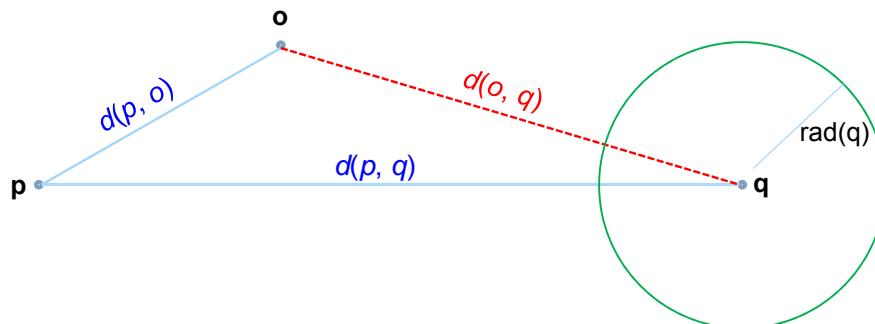
- Distanz = 1 - Ähnlichkeit

## ■ Beispiele metrischer Distanzfunktionen:

- Euklidische Distanz, Editier-Distanz, Hamming-Distanz, Jaccard

## Suchraumbegrenzung für metrische Räume\*

### ■ Dreiecksungleichung kann zur Einsparung von Vergleichen genutzt werden



### ■ für Query-Objekt $q$ sollen ähnliche Objekte mit maximalem Abstand (Radius) $max-dist = rad(q)$ gesucht werden

- aufgrund der Dreiecksungleichung kann ein Pivot-Objekt  $p$  genutzt werden, um festzustellen, ob ein Objekt  $o$  die maximale Distanz zu  $q$  einhalten kann, d.h. die Distanz  $d(o, q) \leq rad(q)$  gilt

- es gilt wegen der Dreiecksungleichung nämlich

$$d(p, o) + d(o, q) \geq d(p, q) \Rightarrow d(p, q) - d(p, o) \leq d(o, q)$$

- ein Vergleich zwischen  $o$  und  $q$  kann somit entfallen, wenn gilt:

$$d(p, q) - d(p, o) > max-dist = rad(q)$$

- Vorberechnung der Abstände zu Pivots ermöglicht schnelle Entscheidung

# Suchverfahren für metrische Räume

## ■ Vorverarbeitung:

- gegeben: Menge zu durchsuchender Objekte (Bitvektoren, Signaturen, Fingerprints)  $R$
- bestimme Teilmenge  $P = \{p_1, \dots, p_j\}$  der Objekte als Pivots (z.B. Random-Auswahl)
- ordne jedes Objekt  $o_i$  dem nächsten Pivot  $p_j$  zu und speichere Distanz  $d(p_j, o_i)$
- bestimme pro Pivot  $p$  den maximalen Abstand  $rad(p)$  zu seinen zugeordneten Objekten

## ■ Suche/Matching:

- gegeben: Menge von Query-Objekten (Bitvektoren, Fingerprints)  $S$ , maximale Distanz  $max-dist$

for each  $q$  of  $S$  and each pivot  $p$  do:

- determine distance  $d(p, q)$
- if  $d(p, q) \leq rad(p) + max-dist$ : (alle anderen Pivots und ihre Objekte können ignoriert werden)
  - for each object assigned to  $p$ 
    - check whether it can be skipped due to triangular inequality ( $d(p, q) - d(p, o) > max-dist$ )
    - otherwise match  $o$  with  $p$  ( $o$  matches  $q$  if  $d(o, q) \leq max-dist$ )

## ■ Verfahren i.a. um Größenordnungen schneller als ohne Suchraumeingrenzung



## Zusammenfassung

### ■ Standard-Indexstruktur in DBS: B\*-Baum ("the ubiquitous B\*-tree")

- direkter vs. indirekter; clustered vs. non-clustered Index
- direkter und sortiert sequentieller Zugriff für Primär- und Sekundärschlüssel
- verallgemeinerte Zugriffspfadstruktur, Join-Index
- Verbesserung der Baumbreite: Schlüsselkomprimierung, verallgemeinertes Splitting

### ■ schnellerer Schlüsselzugriff erfordert Hash-Verfahren

- (nur) direkter Zugriff ( $< 1.4$  Seitenzugriffe)
- dynamische Hash-Verfahren unterstützen stark wachsende Datenbestände
- Beispiel-Implementierung: Erweiterbares Hashing (2 Seitenzugriffe)

### ■ Bitlisten-Indexierung u.a. für Attribute geringer Kardinalität

### ■ mehrdimensionale Anfrageunterstützung

- Erhaltung der topologischen Struktur des Datenraumes
- eindimensionale Indexstrukturen begrenzen Datenraum unzureichend
- mehrdimensionale Beispielansätze: Grid-File und R-Baum

### ■ Textsuche (Schlüsselwortsuche in großen Dokumentkollektionen)

- Verwendung von invertierten Listen (B\*-Bäumen) oder Signaturen
- Suchraumeingrenzung, z.B. für bestimmte Ähnlichkeitsfunktionen (Längenfilter, Dreiecksungleichung)

